

## ایجاد تصویر MRI با استفاده از ارزشیابی موازی درخت BSP

### بر روی مدل محاسباتی BSP

حسین دلداری

دانشیار گروه مهندسی کامپیوتر، دانشگاه فردوسی مشهد  
[Hvf\\_83@yahoo.com](mailto:Hvf_83@yahoo.com)

حمزه وحیدی فر

مریی گروه مهندسی کامپیوتر، دانشگاه پی‌ام نور  
[hdeldari@yahoo.com](mailto:hdeldari@yahoo.com)

#### ۱- مقدمه

یکی از محدودیتها و مشکلات استفاده از کامپیوتر در کارهای گرافیکی، بالا بودن زمان پردازش برنامه‌ها می‌باشد. که ناشی از کمبود منابع زیر می‌باشد محدودیت محاسباتی<sup>۱</sup>، محدودیت گرافیکی<sup>۲</sup>، محدودیت رابط<sup>۳</sup> و محدودیت نمایش<sup>۴</sup> [۱].

یکی از بهترین راه‌حل‌ها برای کاهش زمان پردازشهای گرافیکی، تقسیم مساله به مسائل کوچکتر و حل آنها می‌باشد برای این منظور از ساختمان داده درخت BSP استفاده می‌کنیم. حال اگر این درخت بصورت موازی پیاده سازی و ارزشیابی شود باعث می‌شود کارایی نرم افزارهایی که از این ساختمان داده استفاده می‌کنند به نحو بسیار مطلوبی بوده و ایجاد تصویر MRI در مدت زمان کمتری امکان پذیر می‌شود.

در این مقاله، هدف طراحی و پیاده سازی روشی برای ایجاد تصویر MRI با استفاده از ارزشیابی موازی درخت BSP، تحت مدل محاسباتی BSP می‌باشد؛ در ابتدا درخت BSP، مدل BSP و MRI مورد بررسی قرار گرفته است. سپس الگوریتم پیشنهادی در بستر مدل محاسباتی BSP ارائه شده، آنگاه با استفاده از امکانات ارتباطی و همزمانی کتابخانه [۲] Oxford BSPlib، الگوریتم مذکور بر روی شبکه ای از کامپیوترها طراحی و پیاده سازی گردیده است. پس از بی‌ان نتایج عملی حاصله و رهنمودهایی برای تحقیق بی‌شتر، از آنجایی که بالا بردن سرعت پردازش اطلاعات یکی از مهمترین انگیزه های استفاده از محیط های موازی برنامه نویسی است. در این مقاله، زمان اجرای الگوریتم بعنوان پارامتر کارایی در نظر گرفته شده است.

#### ۲-۱- درخت BSP

درخت BSP، یک تقسیم بندی بازگشتی و سلسله مراتبی فضای  $n$  بعدی، به زیرفضاهای محدب می‌باشد که طی آن یک فضای  $n$  بعدی توسط یک سطح  $n-1$  بعدی تقسیم شده و نتیجه آن، ایجاد دو زیرفضای جدید  $n$  بعدی می‌باشد در هر یک از زیرفضاهای جدید، می‌توان تقسیم

**چکیده:** یکی از محدودیتها و معضلات استفاده از کامپیوتر در کارهای گرافیکی، داده های حجیم و بالا بودن زمان پردازش داده ها در بسیاری از پردازش ها و کاربردهای گرافیکی می‌باشد. بنابراین نیازمند روش هایی هستیم که داده های گرافیکی بسیار زیادی را در زمانی معقول پردازش نماید. پیشرفت تکنولوژی کامپیوتر در عصر حاضر، استفاده از سیستمهای کامپیوتری موازی را در بسیاری از زمینه ها مقدر نموده است. بطوری که می‌توان نرم افزارهای موازی بر مبنای ساختمان داده مجرد مستقل از معماری ماشین طراحی و پیاده سازی نمود که توسعه پذیر بوده و کارایی آن قابل پیش بینی و عملی باشد با توجه به کاربرد زیاد اطلاعات گرافیکی، پردازش و رندر سازی داده های گرافیکی بصورت موازی از اهمیت خاصی برخوردار شده است.

در این مقاله، سعی شده است ایجاد تصویر MRI<sup>۱</sup> با استفاده از درخت BSP<sup>۲</sup>، بر روی مدل محاسباتی موازی و عمومی مرسوم به BSP<sup>۳</sup>، طراحی و پیاده سازی گردد. جهت بررسی کارایی ایجاد تصویر MRI، درخت مزبور بر روی شبکه ای از کامپیوترها پیاده‌سازی گردید. زمان ایجاد تصویر MRI از لحظه ارسال اطلاعات تا زمان دریافت نتیجه مورد نظر، اندازه گیری شد. نتایج بدست آمده حاکی از کارایی مناسب این روش هنگام افزایش تعداد پردازنده ها در شبکه نسبت به حالت تک پردازنده ای می‌باشد این امر دلالت بر کارایی توسعه پذیری الگوریتم دارد.

**کلمات کلیدی:** محاسبات موازی، محاسبات توزیع شده، مدل محاسباتی BSP، درخت BSP، ابرگام<sup>۴</sup>، رندر سازی موازی SL<sup>۵</sup>، MRI.

<sup>1</sup> Magnetic Resonance Imaging

<sup>2</sup> Binary Space Partition tree

<sup>3</sup> Bulk Synchronous Parallel Model

<sup>4</sup> SuperStep

<sup>5</sup> sort-last Parallel Rendering

تقسیم بر تعداد کلمات جاری که بوسیله شبکه ارتباطی در یک ثانیه تحویل داده شده است).

هزینه یک ابرگام در این مدل برابر است با تعداد عملیات محلی انجام شده بوسیله هر پردازنده در خلال زمان s، توسط h تعداد گره های موجود در شبکه.

$$i) \text{ (شماره پردازشگر)} = \underbrace{\text{MAX } w_i}_{\text{محاسبات}} + \underbrace{\text{MAX } h_i}_{\text{ارتباطات}} * g + 1$$

### ۲-۳- MRI و کاربردهای آن

MRI به معنی تصویر برداری تشدید مغناطیسی می باشد با MRI می توان از یک عضو تصویرسازی کرد. این شیوه تصویربرداری برای بررسی بیماریهای کبدی، کلیوی، ریوی، نارسایی های قلبی، بررسی جریان خون، بیماری وبا، بررسی ماهیچه، عروق و رباطها کاربرد دارد [۱۶].

### ۳- طراحی درخت BSP موازی با محاسباتی BSP

جهت ایجاد تصویر MRI بصورت موازی، درخت BSP بر روی تعدادی از کامپیوترهای موجود در شبکه توزیع می گردد. در هنگام رندر سازی، کاربر (ماشین سفر) ایجاد تصویر MRI از نقطه دید خاصی را درخواست می کند؛ این درخواست به کلیه کامپیوترهای موجود در شبکه ارسال می شود. با دریافت این پیام بطور همزمان توسط کلیه کامپیوترها، ابرگام آغاز شده و رندر سازی داده ها با استفاده از درخت BSP بر روی هر کامپیوتر صورت می پذیرد. در نهایت با ترکیب نتایج بدست آمده در جهت تامین ارتباطات نقطه به نقطه بین پردازنده ها، از مدل شبکه ای ستاره امکانات کتابخانه Oxford BSPlib استفاده شده است.

### ۳-۱- تشریح الگوریتم پیشنهادی

در این الگوریتم، پس از دریافت مجموعه داده از دستگاه MRI، مجموعه داده را به تعداد پردازنده ها، به چند قسمت مساوی تقسیم می نمایم. و هر کدام از نواحی فوق را برای یک پردازشگر ارسال می کنیم؛ سپس پردازشگرها عملیات رندر سازی را به صورت موازی انجام داده و نتایج حاصل را با هم ترکیب نموده و تصویر MRI نهایی بوجود می آید. با توجه به مطالب ذکر شده، الگوریتم یاد شده شامل سه مرحله می باشد:

۱. دریافت مجموعه داده و توزیع نمودن داده ها بر روی پردازنده ها (تشکیل درخت BSP).
۲. انجام عمل رندر سازی توسط هر پردازشگر بر روی داده اختصاصی اش به صورت موازی.
۳. ترکیب نتایج رندر شده در داخل فایل واحد و نمایش تصویر.

بندی بازگشتی فضا را ادامه داد. عمل تقسیم می تواند تا رسیدن به عمق ماکزیمی از درخت BSP، یا قرار گرفتن میزان داده خاصی در برگ های درخت BSP، ادامه یابد [۳، ۴، ۱۴].

پس از ارائه تعریف درخت BSP، تحقیق بر روی خواص و کاربردهای درخت BSP گسترش یافت. از مهمترین زمینه های کاربرد درخت BSP، به حذف سطوح مخفی<sup>۵</sup> [۵]، اثر اشعه ای<sup>۶</sup> [۶]، ساخت اجسام هندسی<sup>۷</sup> [۲]، ایجاد سایه<sup>۸</sup> [۷]، یافتن موقعیت نقطه<sup>۹</sup> [۸]، تشخیص برخورد<sup>۱۰</sup> [۹] حرکت روباتها<sup>۱۱</sup> [۱۰] و ... می توان اشاره کرد.

در سالهای اخیر، استفاده از روشهایی همچون درخت BSP موازی رایج شده است. با این روش براحتی می توان داده ها را بر روی شبکه ای از کامپیوترها توزیع نمود. که از جمله کاربردهای مهم درخت BSP موازی می توان به رندر سازی حجم به صورت موازی که Silva و Ramakrishnan اشاره نمود [۱۱، ۱۲].

### ۲-۲- مدل BSP

در دنیای محاسبات موازی، مدل های محاسباتی مختلفی وجود دارد. یکی از این مدل های مطرح، مدل همه منظوره BSP است. که در سال ۱۹۹۰ توسط Valiant از دانشگاه هاروارد پیشنهاد گردید [۱۳]. مدل مذکور، برنامه نویسی موازی را توجیه پذیری نموده است [۱۵]. معماری مدل BSP دارای اجزاء زیر می باشد:

- تعدادی پردازنده به انضمام حافظه های مربوطه
- یک شبکه ارتباطی که امکان اتصال نقطه به نقطه را بین پردازنده ها فراهم می نماید.
- یک مکانیزم هماهنگ سازی که باعث همگام سازی کلیه یا بخشی از پردازنده ها می شود.

مهمترین خواص مدل BSP عبارتند از:

- ۱- برنامه نویسی در آن، شبیه برنامه نویسی ترتیبی بوده و فقط تعداد کمی دستور ساده به آن اضافه شده، لذا برنامه نویسی با این مدل ساده و آسان می باشد.
- ۲- مدل BSP به معماری ماشین وابسته نمی باشد.
- ۳- زمان اجرای برنامه با استفاده از متن برنامه و تعدادی پارامتر ساده از معماری ماشین، به راحتی قابل محاسبه می باشد.

مدل BSP می تواند در سیستم ها و زبانهای برنامه نویسی مختلفی از قبیل PVM و Cary's SHMEM جا داده شود. همچنین می توان با افزودن کتابخانه Oxford BSPlib به زبان های C/C++ و فرترن، می توان از برنامه نویسی BSP استفاده نمود.

مدل BSP می تواند بوسیله خواص چهارگانه ذیل مشخص شود: P (تعداد پردازنده ها)، S (سرعت پردازنده ها (گامهای زمانی در هر ثانیه))، (تأخیر در پردازش (کمترین تعداد گام های زمانی در هماهنگ سازی عملگرها))، G (تعداد عملیاتی محلی انجام شده توسط پردازنده ها،



جدول (۱): مشخصات سیستم

Component	Type
CPU	Dual Intel Xeon 1.70GHZ
Memory	2x512M
Network card	Intel pro100
Graphics board	NVIDIA Geforce3(128MB RAM)
Hard drive	18GB seagate Cheetah U160

در این برنامه جهت بررسی کارایی الگوریتم، از پارامترهای زمان اجرا، اندازه مساله و تعداد فریم بر ثانیه، استفاده می‌نماییم. در این اندازه-گیری‌ها، در واقع اندازه‌گیری هزینه مدل (تاخیر شبکه در مدل BSP)، هزینه‌های ارتباطی، میزان تبادل داده، دسترسی به اطلاعات درخت BSP، رندر کردن و نمایش تصویر نهایی لحاظ شده است. در این سیستم از فریم بافر ۳۲ بیتی RGBA استفاده شده است که ۸ بیت برای هر رنگ R,G,B و ۸ بیت نیز برای کانال آلفا بکار می‌رود برای رسم پیکسل‌ها، از تابع OpenGL به نام glDrawPixel() استفاده می‌کنیم در ادامه مطالب، چندین سناریو در سیستم تعریف نموده و نتایج حاصل از اجرای آنها نشان داده شده است.

به عنوان مثال برای ایجاد تصویر برای مجموعه داده ای ۲۰۹×۲۵۶×۲۵۶ بایتی با وضوح تصویر ۲۵۶×۲۵۶، زمان بدست آمده از اجرای برنامه توسط یک کامپیوتر، ۳۰/۱۵ ثانیه بود. در حالیکه همین عمل با دو کامپیوتر زمانی برابر ۱۷/۱۲ ثانیه، با چهار کامپیوتر زمانی برابر ۱۴/۶۸ ثانیه، با هشت کامپیوتر زمانی برابر ۱۳/۲۴ ثانیه و با ۱۶ کامپیوتر زمانی برابر ۱۶/۳۰ ثانیه داشت. افزایش سرعت نسبی و کارایی اجرای برنامه با دو پردازشگر را می‌توان به صورت زیر محاسبه نمود:

$$S_{up} = 30/15 \div 17/12 = 1/76$$

$$E = 1/76 \div 2 = 0/188$$

افزایش سرعت نسبی و کارایی اجرای برنامه با چهار کامپیوتر را می‌توان به صورت زیر محاسبه نمود:

$$S_{up} = 30/15 \div 14/68 = 2/05$$

$$E = 2/05 \div 4 = 0/51$$

اگر محاسبات فوق را برای سایر حالات نیز تکرار کنیم. آنگاه نمودارهای مربوط به زمان اجرای برنامه، افزایش سرعت نسبی و کارایی نتایج فوق به ترتیب بصورت شکل (۴)، شکل (۵) و شکل (۶) خواهد بود:

اگر زمان برش مجموعه داده توسط یک پنجره  $w$  باشد و نیز خواهیم درختی به عمق  $m$  بوجود آوریم، در این حالت تک پردازشگر نیاز به زمانی برابر با  $w \cdot 2^m$  داریم. فرض کنید  $2^m$  برابر  $N$  باشد، اگر همین درخت را با  $N$  پردازشگر موازی خواهیم بوجود آوریم، تنها به زمان  $w$  برای برش زدن نیاز داریم. در نتیجه در ابرگام دوم با توجه به اینکه  $H_2$  مساوی صفر است داریم:

$$N \cdot w = \text{هزینه ابر گام دوم با یک پردازشگر}$$

$$W + L = \text{هزینه ابر گام دوم با } N \text{ پردازشگر}$$

در ابر گام سوم اگر هزینه انتقال اطلاعات یک پردازشگر داخل فایل،  $s$  در نظر گرفته شود؛ داریم:

$$N \cdot s = \text{هزینه ابر گام سوم با یک پردازشگر}$$

$$s + L = \text{هزینه ابر گام سوم با } N \text{ پردازشگر}$$

بنابراین هزینه کلی برنامه به قرار زیر است:

$$N \cdot w + N \cdot s = \text{هزینه کل با یک پردازشگر}$$

$$n \cdot g + w + s + 3L = \text{هزینه کل با } N \text{ پردازشگر}$$

افزایش سرعت نسبی برابر است با زمان اجرای الگوریتم موازی با یک پردازشگر تقسیم بر زمان اجرای الگوریتم موازی با  $N$  پردازشگر. اگر افزایش سرعت نسبی را با  $S_{up}$  و کارایی را با  $E$  نمایش می‌دهیم؛ داریم:

$$S_{up} = \frac{N \cdot w + N \cdot s}{n \cdot g + w + s + 3L}$$

$$E = \frac{S_{up}}{N} = \frac{w + s}{n \cdot g + w + s + 3L}$$

چون  $L$  مقدار کوچکی در مقابل  $w$  بوده و نیز با توجه به پهنای باند بالای شبکه ارتباطی ماشین‌های موازی (بیش از 100 MB/sec)، مقدار  $n \cdot g$  (هزینه ارتباطات رابطه بالا) مقدار کوچکی می‌باشد. لذا ملاحظه می‌شود که کارایی الگوریتم تقریباً بالا بوده و نزدیک به عدد یک می‌باشد. نتایج حاصل از اجرای الگوریتم نیز آنرا تایید می‌نماید.

#### ۴-۲ ارزیابی کارایی عملی الگوریتم و مقایسه آنها

در این سیستم از ۱۶ کامپیوتر با مشخصات جدول (۱) استفاده گردیده که از طریق یک سوئیچ ۱۰۰Mb به هم متصل شده اند. همه سیستم‌ها دارای سیستم عامل Windows XP بوده و برای برنامه نویسی از زبان ++C 6 و کتابخانه BSP با نسخه Oxford BSPlib استفاده شده است.

کار پردازشگرها، زیاد می‌گردد). در نتیجه کارآیی الگوریتم توجیه پذیر و قابل قبول می‌باشد.

#### ۵- نتیجه گیری

در این بخش بطور خلاصه به بیان اهداف و برخی از دستاوردها و نتایج این می‌پردازیم.

برای کارهایی از قبیل رندر کردن می‌توان مجموعه داده های بزرگ را با استفاده از ساختار درخت BSP به قسمت های کوچکتر تقسیم نمود و درخت مزبور را بر روی شبکه ای از کامپیوترها توزیع کرد. بصورت موازی می‌توان این داده ها را رندر نموده و برای بدست آوردن جواب نهایی، نتایج حاصله را ادغام کرد. در این تحقیق، عمل موازی سازی طبق مدل محاسباتی BSP انجام گردیده است.

در این الگوریتم برای عملیات رندرسازی از SL استفاده کردیم چون SL ها پیاده‌سازی ساده‌ای داشته و در طیف وسیعی از الگوریتم‌ها قابل استفاده می‌باشند. از مهمترین مزایای استفاده از رندر کننده های SL می‌توان به موازنه بار خیلی خوب و قیاس پذیر بودن اشاره نمود. یعنی تعداد رندر سازها را می‌توان افزایش داد بطوریکه داده ها بصورت تقریباً مساوی بین پردازشگرها تقسیم می‌شوند.

در این الگوریتم از موازنه بار استاتیک استفاده گردید. بدین صورت که در ابتدای اجرای الگوریتم با مشخص شدن تعداد پردازنده ها، داده ها را به نسبت مساوی بین پردازنده ها تقسیم می‌شود بطوریکه در الگوریتم پیشنهادی، با افزایش تعداد پردازشگرها می‌توان زمان رندر کردن و ایجاد تصویر نهایی MRI را به مقدار زیادی کاهش داد که این دستاورد خوبی برای توجیه کارآیی بودن الگوریتم می‌باشد.

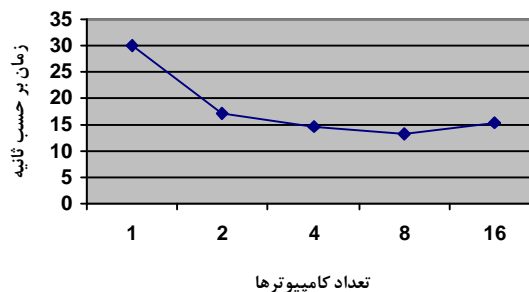
از زمینه های باز تحقیقاتی مرتبط با این مقاله، استفاده از الگوریتم پیشنهادی در یک بازی تحت شبکه با تعداد زیادی بازیکن می‌باشد که انجام عمل رندر سازی، طبق الگوریتم خاصی که در اینجا مطرح گردید و مقایسه نتایج این روش، با سایر روشها می‌باشد. همچنین استفاده از الگوریتم پیشنهادی در پیاده سازی شبیه ساز پرواز اشاره کرد که دارای تعداد زیادی نمایشگر بوده و بصورت کاشی وار در کنار هم قرار گرفته- اند که هر نمایشگر توسط یک پردازنده کنترل می‌شود و مقایسه نتایج عملی این روش با حالتی که از یک نمایشگر بزرگ استفاده می‌شود؛ مقایسه نمود.

#### سپاسگزاری

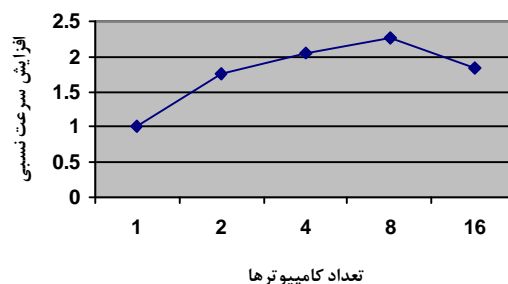
بدینوسیله از زحمات پرسنل بخش MRI بیمارستان قائم مشهد که از ارائه اطلاعات مناسب، دریغ نمودند کمال تشکر و سپاسگزاری را داریم.

#### منابع و ماخذ

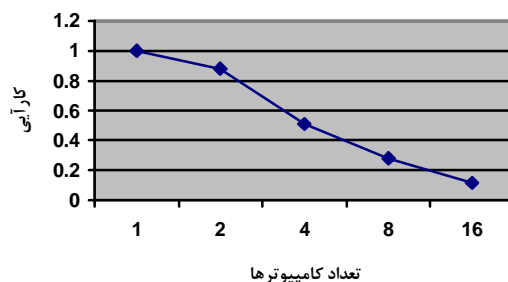
- [1]. Charles Smith, "Distributed Rendering of Particle Systems", B.A. Computer Science, April 22, 2003
- [2]. <http://www.bsp-worldwide.org/>



شکل(۴): زمان برنامه برای وضوح تصویر ۲۵۶×۲۵۶



شکل(۵): سرعت نسبی برنامه برای وضوح تصویر ۲۵۶×۲۵۶



شکل(۶): زمان برنامه برای وضوح تصویر ۲۵۶×۲۵۶

از بررسی نمودارهای فوق مشخص می‌گردد که افزایش درجه وضوح و اندازه مجموعه داده باعث زیاد شدن زمان اجرای برنامه می‌شود و اضافه شدن تعداد پردازنده ها، رابطه ای تصاعدی با ازدیاد سرعت رندر کردن اطلاعات و ایجاد تصویر MRI دارد. بدین معنا که برای رندر کردن و ایجاد تصویر MRI، بهتر است از روش موازی استفاده کنیم. با توجه به نمودارهای بالا، ملاحظه می‌شود که کارآیی تئوری و عملی الگوریتم با هم مطابقت دارند و E در برخی موارد با زیاد شدن تعداد پردازشگرها کاهش می‌یابد که علت اصلی آن بالا رفتن هزینه همزمانی بین پردازشگرها (L) به علت زیاد شدن پردازشگرها و عدم موازنه درخت می‌باشد(به علت عدم موازنه درخت، اختلاف زمان اتمام

زیرنویس‌ها

- <sup>1</sup> Compute limited
- <sup>2</sup> Graphics limited
- <sup>3</sup> Interface limited
- <sup>4</sup> Display limited
- <sup>5</sup> Hidden-surface removal
- <sup>6</sup> ray tracing
- <sup>7</sup> Constructive solid geometry
- <sup>8</sup> Shadow generation
- <sup>9</sup> Point location
- <sup>10</sup> Collision detection
- <sup>11</sup> Motion robotics

- [3]. S. F. Buchele, "Three-Dimensional Binary Space Partitioning Tree and Constructive Solid Geometry Tree Construction from Algebraic Boundary representations", Ph.D Dissertation, The University of Texas at Austin, 1999.
- [4]. Cbasa D, "Binary Space Partitions", September 26, 2004
- [5]. T. M. Murali, Efficient hidden-surface removal in theory and in practice, Ph.D. Thesis, Department of Computer Science, Brown University, Providence, 1998
- [6]. B. Naylor and W. Thibault, Application of BSP trees to ray-tracing and CSG Evaluation, Technicl Report GIS-ICS, Georgia Institute of Twch, School of information and Computer Science, 1996.
- [7]. H. C. Batagelo and I. Costa Jr., Real-time shadow generation using BSP trees and stencil buffers, in proc. 12<sup>th</sup> Brazilian sympos. Comp. Graph. And Image Processing, 1999, pp. 93-102.
- [8]. S Arya, M. Malamatos, and D. M. Mount, Nearly Optimal expected-case planar point location, 41<sup>th</sup> sympos. Foundation of Comp. Sci., IEEE press, 2000, pp. 208-21.
- [9]. S. Ar, G Montage, and A. Tal Deferred, self-organizing BSP Trees, Comput. Graph. Forum 21 (3) (2002), 269-278.
- [10]. C. Ballieux, Motion planning using binary bspace partitions, Technical Report Inf/src/93-25, Utrecht University, 1993.
- [11]. C. R Ramakrishnan, Claudio T. Silva, "Optimal Processor Allocation for Sort-Last Compositing under BSP-Tree Ordering", University Of Computer Science State University of New Yorkat Stony Brook, 1999.
- [12]. Claudio Silva, Drik Bartz, Bengt-Olaf Schneider, "Rendering and Visualization in Parallel Environments", University of Tübingen, IBM T.J Watson Research Center, AT&T Labs-Research (SIGGRAPH2000 Course on "Rendering and Visualization in Parallel Environments", 2000.
- [13]. L. Valiant, "A Bridge Model for Parallel Computing", Communication of the ACM, 1990
- [14]. Steven Cento, "BSP Tutorial by Steven Cento", Department of Computer Science, University of Stellenbosch, Private Bag X1, 7602 Matieland, South Africa, 2002.
- [15]. D.B. Skillicorn, Jonathan M.D. Hill and W.F. McColl, "Question and Answer About BSP", Department of Computer and Information Science Queen's University, Kingston, Canada, Computing Laboratory University of Oxford, Novamber 1996.
- [16]. <http://en.wikipedia.org/wiki/MRI>